

# 切削學 與 應用

徐南燮 著

(教授用 Note)

No. 1 p. 10

$$f = \cot \phi + \tan(\phi - \alpha)$$

$$= \frac{\cos \phi}{\sin \phi} + \frac{\sin(\phi - \alpha)}{\cos(\phi - \alpha)}$$

$$= \frac{\cos \phi (\cos \phi \cos \alpha + \sin \phi \sin \alpha) + \sin \phi (\sin \phi \cos \alpha - \cos \phi \sin \alpha)}{\sin \phi \cos(\phi - \alpha)}$$

$$= \frac{\cos^2 \phi \cos \alpha + \sin \phi \cos \phi \sin \alpha + \sin^2 \phi \cos \alpha - \sin \phi \cos \phi \sin \alpha}{\sin \phi \cos(\phi - \alpha)}$$

$$= \frac{\cos \alpha (\cos^2 \phi + \sin^2 \phi)}{\sin \phi \cos(\phi - \alpha)} = \frac{\cos \alpha}{\sin \phi \cos(\phi - \alpha)} \quad (2-5)$$



Note 2' (Thom 금속삭삭이론 by 4, p. 326~328)

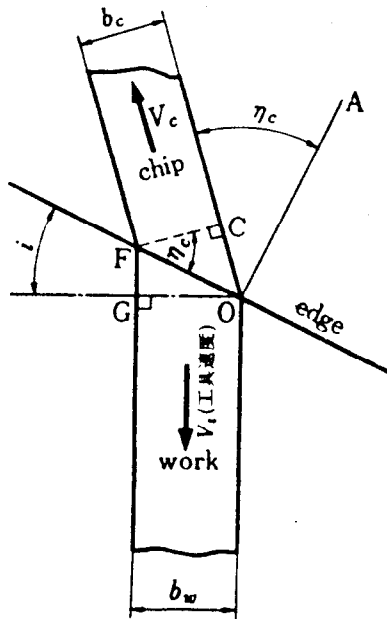


Fig. 12-7 3次元工具의 平面圖

$\eta_c$ 를 측정할 수 있는 방법은 몇 가지가 있다. 즉

i) chip 流動을 工具面(tool face)에서 직접 측정하는 방법

ii) chip 幅의 측정에 의한 방법

두번째 방법이 가장 실질적이며 chip의 幅을  $b_c$ , 加工物의 폭을  $b_w$ 라 할

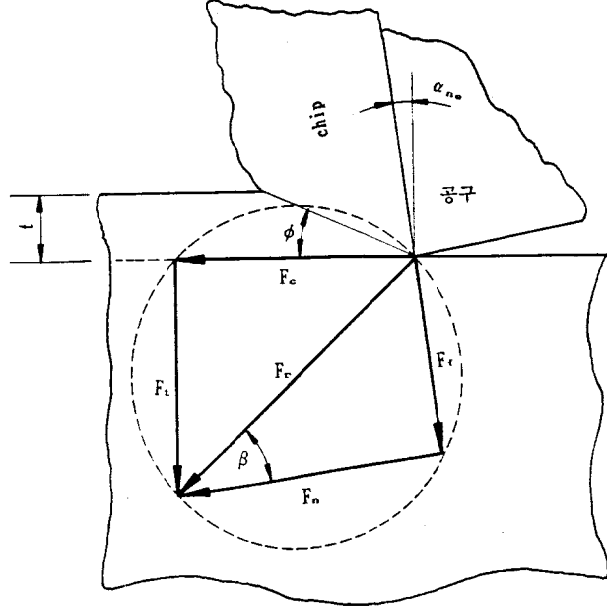
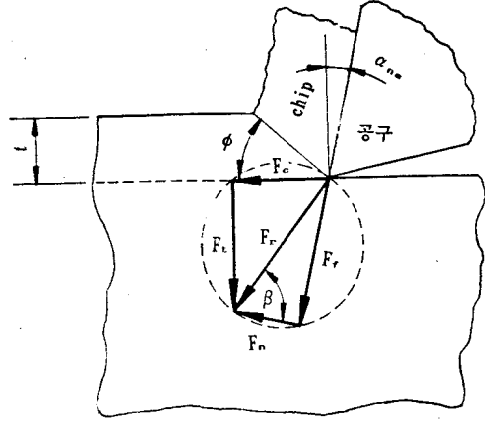
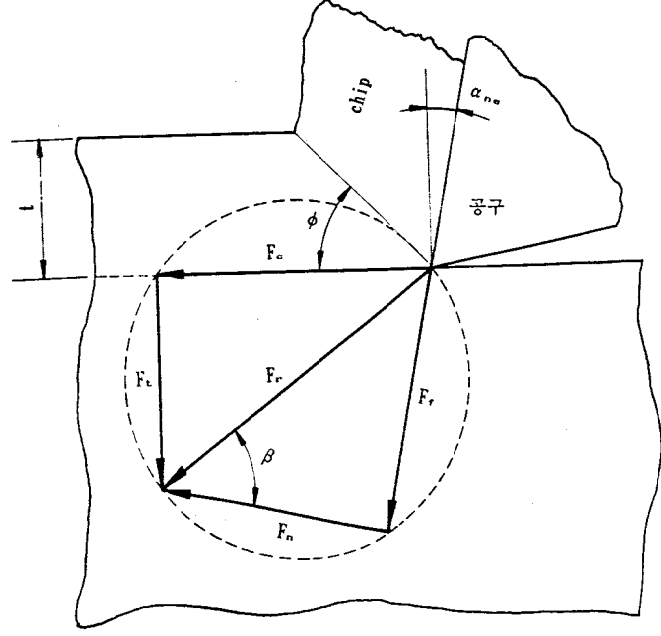
때 Fig. 12-7에서  $OF = \frac{b_w}{\cos i}$ 이므로

$$\cos \eta_c = \frac{b_c}{OF} = \frac{b_c}{b_w} \cdot \cos i \quad (12-3)$$

式 (12-3)에서와 같이  $b_c$ 와  $b_w$ 의 측정에 의하여  $\eta_c$ 를 계산할 수 있으며,  $b_c > b_w$ 의 관계에 있다.

No. 3 P. 18

(정사각파 전삭날이  
가 마찰각이 미치는 영향  
을 그림으로 설명)



p. 28 ~ 29

(2) Merchant의 理論 Merchant는 Krystoff와 같이 最大剪斷應力의 立場에서 출발하여 전단면의 방향은 전단응력이 가장 커지는 면, 다시 말해서 일정한 剪斷應力에 대하여 절삭저항  $R$ 이 최소로 되는 면을 취하도록 했다.

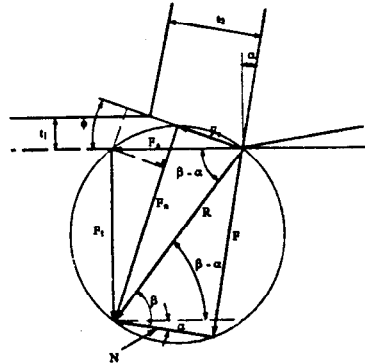
그림 2.25에서  $F_1 = R \cdot \cos(\phi + \beta - \alpha)$  이고  $F_1 = \tau_0 \cdot A_s = \tau_0 \cdot \frac{A_0}{\sin\phi}$  이므로

$$R = \frac{(\tau_0 \cdot A_0)}{\{\sin\phi \cdot \cos(\phi + \beta - \alpha)\}} \quad (2.19)$$

가 되며,  $dR/d\phi=0$ 의 조건을 취하면

$$\begin{aligned} \frac{dR}{d\phi} &= \frac{-\{\cos\phi \cdot \cos(\phi + \beta - \alpha) - \sin\phi \cdot \sin(\phi + \beta - \alpha)\}}{\{\sin\phi \cdot \cos(\phi + \beta - \alpha)\}^2} \cdot (\tau_0 \cdot A_0) \\ &= \frac{\cos(2\phi + \beta - \alpha)}{\{\sin\phi \cdot \cos(\phi + \beta - \alpha)\}^2} = 0 \end{aligned}$$

$$\therefore 2\phi + \beta - \alpha = \frac{\pi}{2}$$



(a)

그림 2.25 절삭에서의 각 分力의 關係

그러나 이론과 실제의 전단각 사이에는 아직 작은 차이가 나타나는데 Merchant는 內部摩擦說의 理論에 의거해서 다음과 같이 論하고 있다.

실제의 경우는 전단면에 작용하는 압축응력  $\sigma$ 에 의해서 전단응력  $\tau$ 는 다음과 같이 변하며, 압축력이 클수록 전단응력이 다음과 같이 증가하는 것으로 한다.

$$\tau = \tau_0 + k\sigma$$

여기서  $k$ 는 常數이다. 그림 2.25에서  $\frac{F_2}{F_1} = \tan(\phi + \beta - \alpha)$

로 되며 분모, 분자를  $A_0$ 로 나누면

$$\sigma_1 = \tau_1 \tan(\phi + \beta - \alpha)$$

가 되어,  $\tau_1$ 는 다음과 같이 구해진다.

$$\tau_1 = \tau_0 + k\tau_0 \tan(\phi + \beta - \alpha)$$

$$\therefore \tau_1 = \frac{\tau_0}{1 - k \tan(\phi + \beta - \alpha)} \quad (2.22)$$

식 (2.22)의  $\tau_1$ 를 식 (2.19)의  $\tau_0$ 에 대입하여

$$\begin{aligned} R &= \frac{\tau_0 \cdot A_0}{\{1 - k \tan(\phi + \beta - \alpha)\} \cdot \sin\phi \cdot \cos(\phi + \beta - \alpha)} \\ &= \frac{\tau_0 \cdot A_0}{\sin\phi \cdot \cos(\phi + \beta - \alpha) - k \cdot \frac{\sin(\phi + \beta - \alpha)}{\cos(\phi + \beta - \alpha)} \cdot \sin\phi \cdot \cos(\phi + \beta - \alpha)} \\ &= \frac{\tau_0 \cdot A_0}{\sin\phi \cdot \cos(\phi + \beta - \alpha) - k \cdot \sin\phi \cdot \sin(\phi + \beta - \alpha)} \\ &= \frac{\tau_0 \cdot A_0}{\frac{1}{2} \{ \sin(2\phi + \beta - \alpha) - \sin(\beta - \alpha) \} - \frac{1}{2} k \{ \cos(\beta - \alpha) - \cos(2\phi + \beta - \alpha) \}} \\ &= \frac{2 \cdot \tau_0 \cdot A_0}{\{ \sin(2\phi + \beta - \alpha) - \sin(\beta - \alpha) - k \cdot \cos(\beta - \alpha) + k \cos(2\phi + \beta - \alpha) \}} \\ \therefore \frac{dR}{d\phi} &= \frac{0 \cdot \{ \} - \{ \cos(2\phi + \beta - \alpha) \cdot 2 - k \sin(2\phi + \beta - \alpha) \cdot 2 \} \cdot 2\tau_0 \cdot A_0}{\{ \}^2} = 0 \\ \therefore k &= \cot(2\phi + \beta - \alpha) \\ \therefore 2\phi + \beta - \alpha &= \cot^{-1}k = C \end{aligned}$$

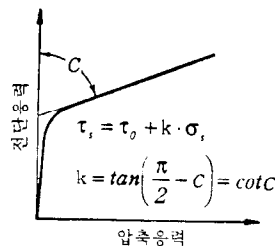


그림 2.29 계수  $C$ 의 의미

이  $C$ 를 切削常數 (machining constant)라 하고 절삭연구상 중요한 것이다. 이 값은 실제로는 그림 2.29와 같이 壓縮應力-剪斷應力線圖에 있어서 구배를 의미하는 것이다. 그 실제의 값은 鋼에 대해서는 약  $77^\circ$  정도이다.

No. 51 p. 29

$$\phi = \tan^{-1} \frac{\cos \theta}{e^{\tan \tau (\frac{\pi}{2} - \theta)} - \sin \theta} = f(\theta, \tau)$$

$$f(0, 0) = \tan^{-1} 1 = \frac{\pi}{4}$$

$$\frac{\partial f}{\partial \theta} = \frac{-\sin \theta e^{\tan \tau (\frac{\pi}{2} - \theta)} + \cos \theta \tan \tau e^{\tan \tau (\frac{\pi}{2} - \theta)} + 1}{e^{\tan \tau (\frac{\pi}{2} - \theta)} - 2 \sin \theta e^{\tan \tau (\frac{\pi}{2} - \theta)} + 1} = \frac{b(\theta, \tau)}{c(\theta, \tau)}$$

$$\left. \frac{\partial f}{\partial \theta} \right|_{\theta=0, \tau=0} = \frac{b(0, 0)}{c(0, 0)} = \frac{1}{2}$$

$$\frac{\partial^2 f}{\partial \theta^2} = \frac{\frac{\partial b}{\partial \theta} c - b \frac{\partial c}{\partial \theta}}{c^2}$$

$$\frac{1}{c^2} \left\{ \begin{aligned} & [-\sin \theta e^{\tan \tau (\frac{\pi}{2} - \theta)} \cdot \sec^2 \tau (\frac{\pi}{2} - \theta) + \cos \theta \sec^2 \tau e^{\tan \tau (\frac{\pi}{2} - \theta)} + \cos \theta \tan \tau e^{\tan \tau (\frac{\pi}{2} - \theta)} \cdot \sec^2 \tau (\frac{\pi}{2} - \theta)] \\ & \times c - b \times [e^{\tan \tau (\frac{\pi}{2} - \theta)} \cdot 2 \sec^2 \tau (\frac{\pi}{2} - \theta) - 2 \sin \theta e^{\tan \tau (\frac{\pi}{2} - \theta)} \cdot \sec^2 \tau (\frac{\pi}{2} - \theta)] \end{aligned} \right\}$$

$$\left. \frac{\partial^2 f}{\partial \theta^2} \right|_{\theta=0, \tau=0} = \frac{1}{c(0, 0)^2} [1 \times 2 - 1 \times \pi] = \frac{2 - \pi}{4}$$

$$\frac{\partial f}{\partial \tau} = \frac{-\cos \theta \sec^2 \tau (\frac{\pi}{2} - \theta) e^{\tan \tau (\frac{\pi}{2} - \theta)}}{c(\theta, \tau)} = \frac{d(\theta, \tau)}{c(\theta, \tau)}$$

$$\left. \frac{\partial f}{\partial \tau} \right|_{\theta=0, \tau=0} = \frac{d(0, 0)}{c(0, 0)} = \frac{-\frac{\pi}{2}}{2} = -\frac{\pi}{4}$$

$$\frac{\partial^2 f}{\partial \tau^2} = \frac{\frac{\partial d}{\partial \tau} c - d \frac{\partial c}{\partial \tau}}{c^2}$$

$$\frac{1}{c^2} \left\{ \begin{aligned} & [-\cos (\frac{\pi}{2} - \theta) \cdot 2 \sec^2 \tau \cdot \sec \tau \cdot \tan \tau e^{\tan \tau (\frac{\pi}{2} - \theta)} - \cos (\frac{\pi}{2} - \theta) \cdot \sec^2 \tau e^{\tan \tau (\frac{\pi}{2} - \theta)} \cdot \sec^2 \tau (\frac{\pi}{2} - \theta)] c \\ & - d \cdot [e^{\tan \tau (\frac{\pi}{2} - \theta)} \cdot 2 \sec^2 \tau (\frac{\pi}{2} - \theta) - 2 \sin \theta e^{\tan \tau (\frac{\pi}{2} - \theta)} \cdot \sec^2 \tau (\frac{\pi}{2} - \theta)] \end{aligned} \right\}$$

$$\left. \frac{\partial^2 f}{\partial \tau^2} \right|_{\theta=0, \tau=0} = \frac{1}{2^2} \left[ -\frac{\pi}{2} \cdot \frac{\pi}{2} \cdot 2 - (-\frac{\pi}{2}) \cdot \pi \right] = 0$$



No. 5-2

$$\frac{\partial^2 f}{\partial \alpha^2} = \frac{1}{c^2} \left[ \frac{\partial b}{\partial \alpha} c - b \frac{\partial c}{\partial \alpha} \right]$$

$$= \frac{1}{c^2} \left\{ \begin{aligned} & \left[ -\cos \alpha e^{\tan \alpha \left( \frac{\pi}{2} - \alpha \right)} - \sin \alpha e^{\tan \alpha \left( \frac{\pi}{2} - \alpha \right)} \cdot (-\tan \alpha) - \sin \alpha \cdot \tan \alpha \cdot e^{\tan \alpha \left( \frac{\pi}{2} - \alpha \right)} \right. \\ & \quad \left. + \cos \alpha \tan \alpha e^{\tan \alpha \left( \frac{\pi}{2} - \alpha \right)} \cdot (-\tan \alpha) \right] c \\ & - b \cdot \left[ e^{\tan \alpha \left( \frac{\pi}{2} - \alpha \right)} \cdot (-\tan \alpha) - 2 \cos \alpha e^{\tan \alpha \left( \frac{\pi}{2} - \alpha \right)} - 2 \sin \alpha e^{\tan \alpha \left( \frac{\pi}{2} - \alpha \right)} \cdot (-\tan \alpha) \right] \end{aligned} \right\}$$

$$\frac{\partial^2 f}{\partial \alpha^2} \Big|_{\substack{\alpha=0 \\ \tau=0}} = \frac{1}{2} \left[ -1 \times 2 - 1 \times (-2) \right] = 0$$

Taylor's Series

$$\phi = f(0,0) + \frac{\partial f}{\partial \alpha} \Big|_{\substack{\alpha=0 \\ \tau=0}} \cdot \alpha + \frac{\partial f}{\partial \tau} \Big|_{\substack{\alpha=0 \\ \tau=0}} \cdot \tau + \frac{1}{2!} \left[ \frac{\partial^2 f}{\partial \alpha^2} \Big|_{\substack{\alpha=0 \\ \tau=0}} \alpha^2 + \frac{\partial^2 f}{\partial \tau^2} \Big|_{\substack{\alpha=0 \\ \tau=0}} \tau^2 + 2 \frac{\partial^2 f}{\partial \alpha \partial \tau} \Big|_{\substack{\alpha=0 \\ \tau=0}} \alpha \cdot \tau \right]$$

$$= \frac{\pi}{4} + \frac{\alpha}{2} - \frac{\pi}{4} \tau + \frac{2-\pi}{4} \alpha \tau + \dots$$

$$\phi_{\text{rad}} = \frac{\phi}{1}$$

$$\phi_{\text{rad}} = \frac{\pi}{4} + \frac{1}{2} \alpha_{\text{rad}} - \frac{\pi}{4} \tau_{\text{rad}} + \frac{2-\pi}{4} \alpha_{\text{rad}} \tau_{\text{rad}}$$

$$\pi \frac{\phi_{\text{deg}}}{180} = \frac{\pi}{4} + \frac{1}{2} \cdot \frac{\pi}{180} \alpha_{\text{deg}} - \frac{\pi}{4} \cdot \frac{\pi}{180} \tau_{\text{deg}} + \frac{2-\pi}{4} \cdot \frac{\pi}{180} \alpha_{\text{deg}} \cdot \frac{\pi}{180} \tau_{\text{deg}}$$

$$\phi_{\text{deg}} = 45 + \frac{1}{2} \alpha_{\text{deg}} - \frac{\pi}{4} \tau_{\text{deg}} + \frac{2-\pi}{720} \alpha_{\text{deg}} \tau_{\text{deg}}$$

$$= 45 + \frac{1}{2} \alpha_{\text{deg}} - \tau_{\text{deg}} \left( \frac{\pi}{4} + \frac{\pi(2-\pi)}{720} \alpha_{\text{deg}} \right)$$

$$= 45 + \frac{1}{2} \alpha - \tau (0.78 + 0.00498 \alpha)$$

I 기하학적인 양



- ① 길이 (m): [L]
- ② 절삭깊이 (m): [L]
- ③ 직경 (m): [L]
- ④ 면적 (m<sup>2</sup>): [L<sup>2</sup>]
- ⑤ 체적 (m<sup>3</sup>): [L<sup>3</sup>]
- ⑥ 면적관성 모멘트:  $I = \int_A s^2 dA$  (m<sup>4</sup>) [L<sup>4</sup>]

$$I_z = \int_A y^2 \cdot dA$$

$$I_z = \frac{bh^3}{12}$$

$$I_y = I_z = \frac{\pi d^4}{64}$$

II 질량을 포함하는 양

- ① 질량 (kg): [M]
- ② 표면장력 :

$$\text{표면장력} = \frac{\text{힘}}{\text{거리}} = \frac{\text{질량} \times \text{가속도}}{\text{거리}} = \frac{[M][LT^{-2}]}{[L]} = [MT^{-2}]$$

- ③ 스프링상수:

$$K = \frac{\text{힘}}{\text{변위}} = \frac{[MLT^{-2}]}{[L]} = [MT^{-2}]$$

- ④ 극관성모멘트:

면적 극관성 모멘트  $I_p = \int_A r^2 dA$  (m<sup>4</sup>) [L<sup>4</sup>]

체적 극관성 모멘트  $I_p = \int_V r^2 dV$  (m<sup>5</sup>) [L<sup>5</sup>]

질량 극관성 모멘트  $I_p = \int_M r^2 dM$  (kg·m<sup>2</sup>) [ML<sup>2</sup>]

- ⑤ 점성계수 :

$$\tau = \mu \frac{dv}{dx} \quad \mu = \frac{\tau dx}{dv} = \frac{F/A \cdot dx}{dv} = \frac{[MLT^{-2}][L^{-2}][L]}{[LT^{-1}]}$$

$$\mu = [ML^{-1}T^{-1}]$$

- ⑥ 압력, 응력, 탄성계수:

$$\text{압력(응력)} = \frac{\text{힘}}{\text{면적}} = \frac{[MLT^{-2}]}{[L^2]} = [ML^{-1}T^{-2}]$$

응력 = 탄성계수 x 변형률 (여기서 변형률은 무차원)

따라서 응력과 탄성계수의 차원은 같다.

- ⑦ 밀도:

$$\text{밀도} = \frac{\text{질량}}{\text{부피}} = \frac{[M]}{[L^3]} = [ML^{-3}]$$

- ⑧ 힘 :

$$\text{힘} = \text{질량} \times \text{가속도} = [MLT^{-2}]$$

⑨ 일, 에너지, 토크:

$$\text{일} = \text{힘} \times \text{거리} = [\text{MLT}^{-2}][\text{L}] = [\text{ML}^2\text{T}^{-2}]$$

⑩ 동력(일률)

$$\text{동력} = \frac{\text{일}}{\text{시간}} = \frac{[\text{ML}^2\text{T}^{-2}]}{[\text{T}]} = [\text{ML}^2\text{T}^{-3}]$$

⑪ *Planck moment*:  $I_p = \sqrt{\hbar \cdot \text{diameter}}$  (No. ⑩ 참조)  $\{M \cdot L^2\}$

\* 양자역학 이경석 p. 286

III 시간을 포함하는 양

- ① 시간(s):  $t$  [T]
- ② 진동수(Hz):  $f = 1/t$  [T<sup>-1</sup>]
- ③ 각속도:  $\omega = 2\pi f$  [T<sup>-1</sup>]
- ④ 각가속도:  $\alpha = \omega/t$  [T<sup>-2</sup>]
- ⑤ 선속도:  $v[\text{m/s}]$  [LT<sup>-1</sup>]
- ⑥ 선가속도:  $a[\text{m/s}^2]$  [LT<sup>-2</sup>]
- ⑦ 동점성계수:

$$\text{동점성계수} = \frac{\text{점성계수}}{\text{밀도}} = \frac{[\text{ML}^{-1}\text{T}^{-1}]}{[\text{ML}^{-3}]} = [\text{L}^2\text{T}^{-1}]$$

IV 열의 양

① 온도(°C):  $T$  [θ]

② 열량(cal):  $1\text{cal} = 4.2\text{J}$

여기서 J은 일의 단위이므로 열량의 단위와 일의 단위는 같다.

$$J = \text{힘} \times \text{거리} (\text{Nm}) = [\text{MLT}^{-2}][\text{L}] = [\text{ML}^2\text{T}^{-2}]$$

N은 힘의 단위 (Newton)이다.

③ 비열:  $Q = m c T$

$$c = \frac{Q}{m T} = \frac{[\text{ML}^2\text{T}^{-2}]}{[\text{M}][\theta]} = [\text{L}^2\text{T}^{-2}\theta^{-1}]$$

④ 열전도도:

$$Q = \frac{K A t (dT)}{dx}$$

*Fourier의 열전도 방정식*  
 $\Delta Q = k \cdot A \cdot \frac{\Delta T}{dx} \cdot \Delta t$   
 \*  $\Delta T$  온도차,  $\Delta t$  시간,  $\Delta x$  두께

$$K = \frac{Q dx}{A t dT} = \frac{[\text{ML}^2\text{T}^{-2}][\text{L}]}{[\text{L}^2][\text{T}][\theta]} = [\text{MLT}^{-3}\theta^{-1}]$$

10.6-3. ⑤ 체적비열:

⑥ 통합(열)

$$\text{체적비열} = \text{밀도} \times \text{비열} = [ML^{-3}][L^2 T^{-2} \theta^{-1}] = [ML^{-1} T^{-2} \theta^{-1}]$$

$$H = \text{체적비열} \times \text{열전도도} = [ML^{-1} T^{-2} \theta^{-1}][MLT^{-3} \theta^{-1}] \\ = [M^2 T^{-5} \theta^{-2}]$$

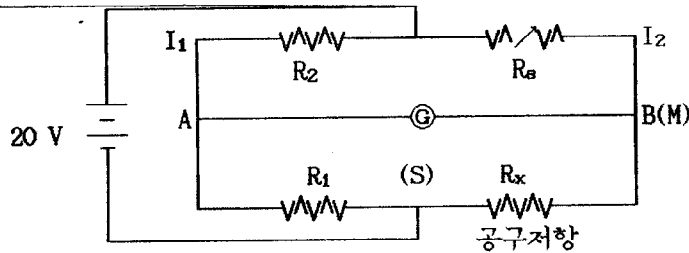
⑦ 엔트로피:

$$dS = \frac{dQ}{T} = \frac{[ML^2 T^{-2}]}{[O]} = [ML^2 T^{-2} \theta^{-1}]$$

⑧ 열확산율:

$$\text{열확산율} = \frac{\text{열전도도}}{\text{체적비열}} = \frac{[MLT^{-3} \theta^{-1}]}{[ML^{-1} T^{-2} \theta^{-1}]} = [L^2 T^{-1}]$$

No. 7 p. 55



온도에 따른 공구의 저항변화를 알기위한 모형으로 휘트스톤 브리지에서 평형이 이루어졌을 경우(즉, 지로 A와 지로 B의 전압차가 없을 경우) 각 지로 전압의 비는

$$\frac{I_2 R_x}{I_2 R_s} = \frac{I_1 R_1}{I_1 R_2} \quad \text{즉} \quad \frac{R_x}{R_s} = \frac{R_1}{R_2}$$

$$R_x = \frac{R_1}{R_2} * R_s \quad \text{이다.}$$

즉, 온도변화에 따라서 전류계의 전류값을 0이 되게 가변기준저항( $R_s$ )을 조정하여  $R_s$ 를 결정하면 공구저항( $R_x$ )를 구할 수 있다.

※ Ohm의 법칙에 의하여  $V = I \cdot R$  에서  $V = (R_1 + R_2) \cdot I_1 = (R_x + R_s) \cdot I_2$

$$I_2 = I_1 \cdot \frac{R_1 + R_2}{R_x + R_s}$$

⊙가 0이면 즉, A와 B의 전위차가 0이면

$V_1 = V_x$  이므로(전압분배에 의해)

$$I_1 \cdot R_1 = I_2 \cdot R_x$$

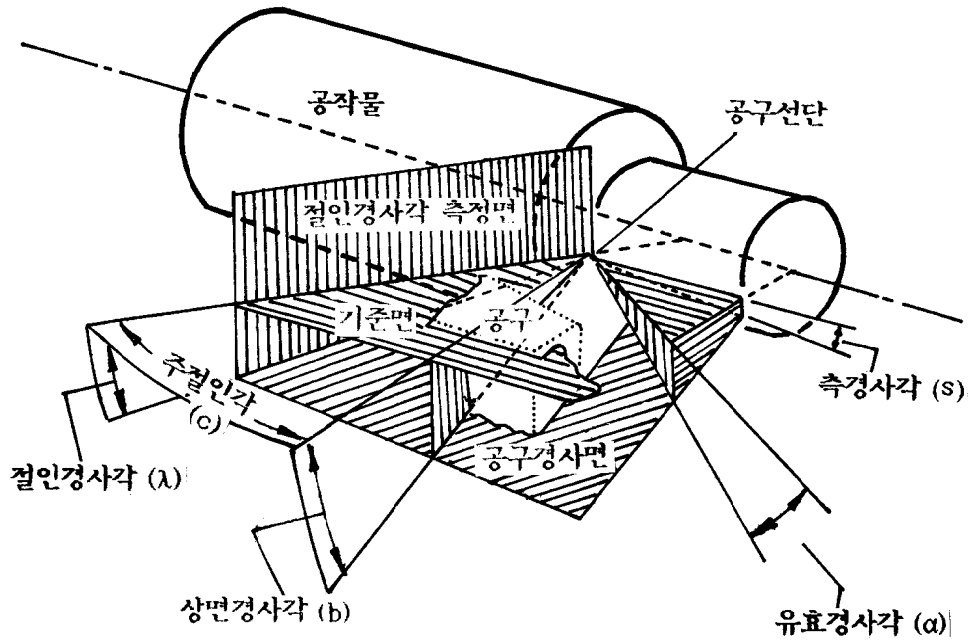
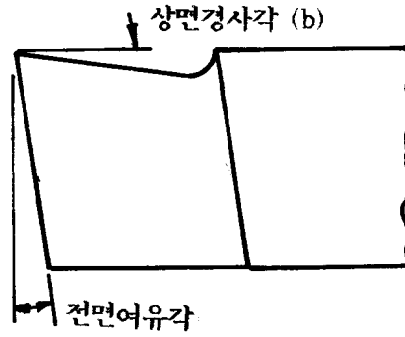
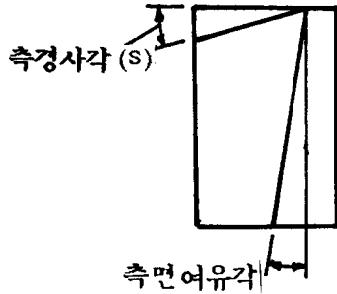
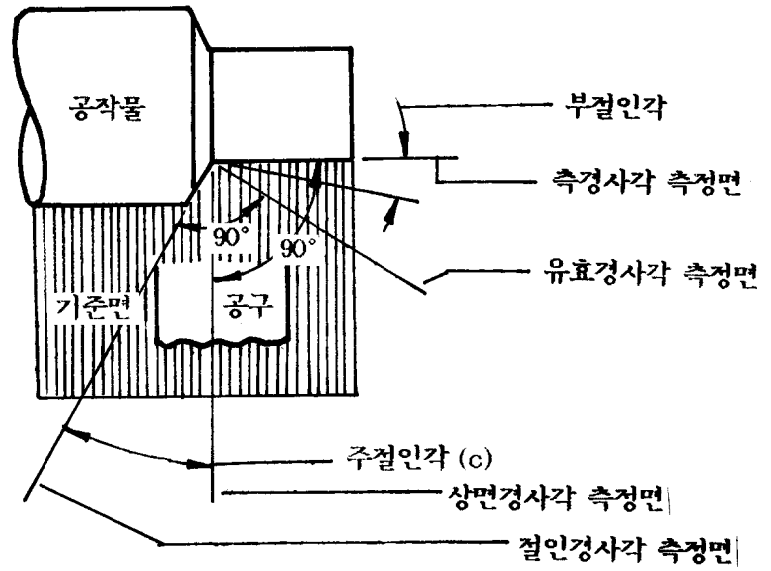
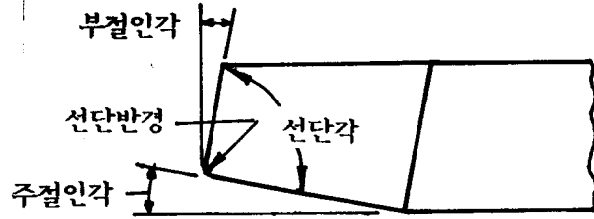
$$I_1 \cdot \frac{R_1 + R_2}{R_x + R_s} \cdot R_x = I_1 \cdot R_1$$

$$(R_1 + R_2) \cdot R_x = R_1 \cdot (R_x + R_s)$$

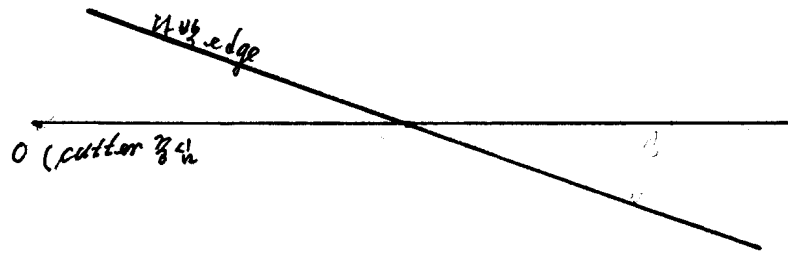
$$R_2 \cdot R_x = R_1 \cdot R_s$$

$$\therefore R_x = \frac{R_1 \cdot R_s}{R_2}$$

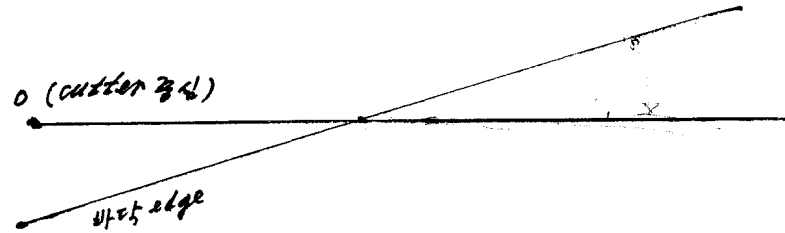
$$\frac{R_x}{R_s} = \frac{R_1}{R_2}$$



No. 9 p.66 + 모형



$d(+), r(+), a(+), \lambda(+)$



p.66

Fig. 63 ( $d(-), r(-), a(+), \lambda(+)$ )

No. 10 p. 71

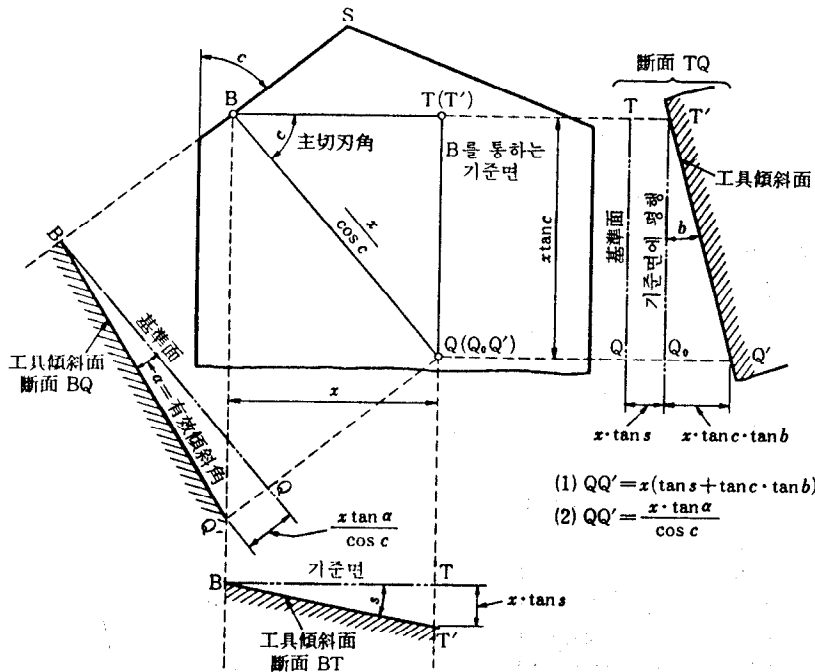


Fig. 65 有效傾斜角



8.73 (보통설명)  
 切削理論 1.326-328

切削傾斜角  $i$  와 chip流動方向  $\eta_c$  의 관계:

i) chip 流動을 工具面(tool face)에서 직접 측정하는 방법

ii) chip 幅의 측정에 의한 방법

두번째 방법이 가장 실질적이며 chip의 幅을  $b_c$ , 加工物の 폭을  $b_w$ 라 할 때 Fig. 12-7에서  $OF = \frac{b_w}{\cos i}$ 이므로

$$\cos \eta_c = \frac{b_c}{OF} = \frac{b_c}{b_w} \cdot \cos i \quad (12-3)$$

式 (12-3)에서와 같이  $b_c$ 와  $b_w$ 의 측정에 의하여  $\eta_c$ 를 계산할 수 있으며,  $b_c > b_w$ 의 관계에 있다.

Stabler의 실험에 의하면 工具 및 加工物 材料, 工具傾斜角, 切削速度 등의 모든 조건에 대하여 chip의 流動角  $\eta_c$ 는 工具刃의 傾斜角  $i$ 와 같다고 한다. Stabler는 처음 실험결과에 대한 보고와는 약간 차이는 있지만 chip 流動에 대하여 다음 사실을 알아내었다.

- i)  $\eta_c$ 는  $\alpha_n$ 의 증가에 따라 감소한다.
- ii)  $\eta_c$ 는 효과적인 切削油를 사용하면 증가한다.
- iii)  $\eta_c$ 는 金屬切削의 摩擦特性이 향상되면(마찰이 적으면) 증가한다.

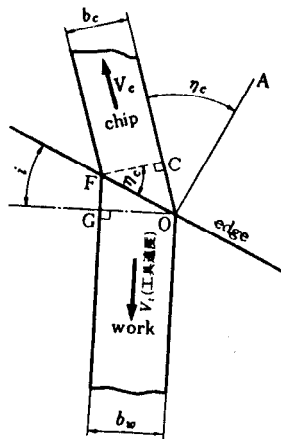
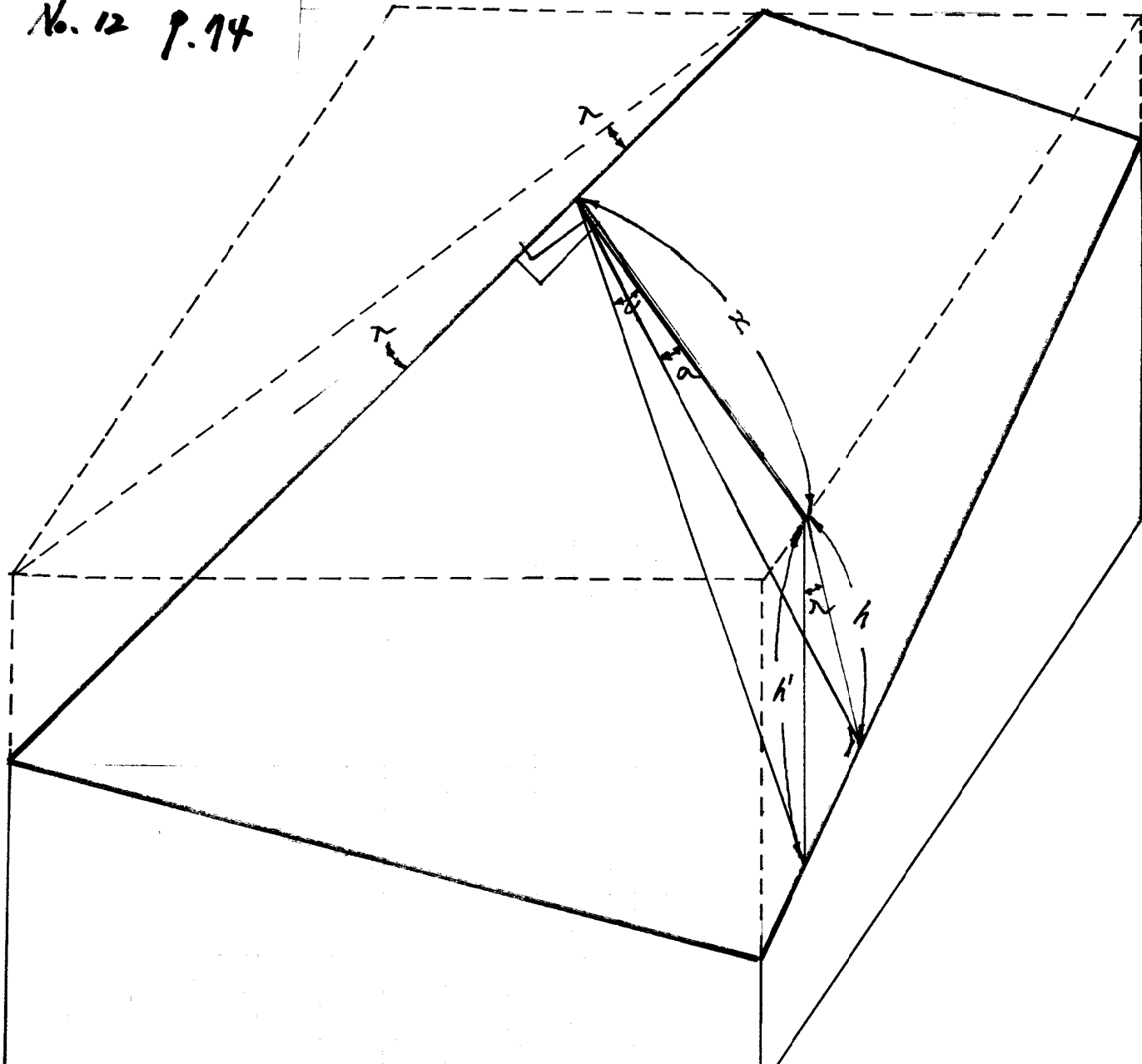


Fig. 12-7 3次元工具의 平面圖

No. 12 p. 74



$$\tan \sigma = \frac{h}{x}$$

$$\tan \alpha = \frac{h'}{x}$$

$$\cos \lambda = \frac{h}{h'} \quad (1)$$

$$\begin{aligned} h &= x \cdot \tan \sigma = h' \cdot \cos \lambda \\ &= x \tan \alpha \cdot \cos \lambda \end{aligned}$$

$$\therefore \tan \sigma = \tan \alpha \cdot \cos \lambda \quad \dots (87)$$

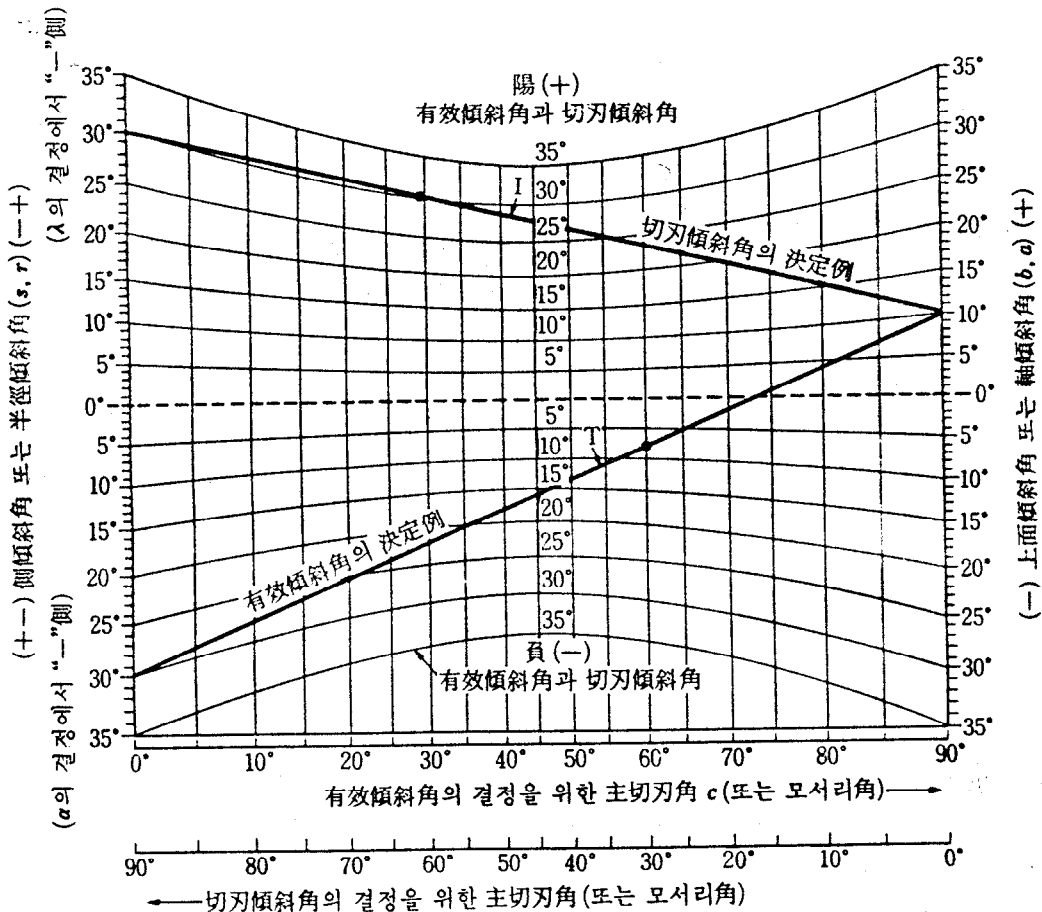


Fig. 69 有效傾斜角과 切刃傾斜角의 결정

b) diamond 자국法

Fig. 4-17 과 같이 工具磨耗 land 위에 diamond 자국을 내어 그 다음에 일어나는 마모를 손쉽게 정밀하게 측정하는 방법이며, **Knoop diamond impression method** 라고도 한다.

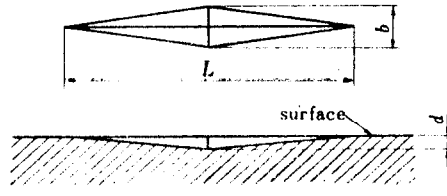


Fig. 4-17 diamond 자국

diamond pyramid 의 형상은  $d : b : L = 1 : 4.29 : 30.53$  이므로

대각선의 변화율 측정하면 자국깊이의 30.53 배로 확대하여 측정하는 셈이다. 이 방법에 의한 측정에서는 工具의 固定狀態 또는 研削에 따라 마모 land 가 달라질 수 있는 단점이 없고, 工具를 선반에 고정된 상태에서 계속 측정할 수 있어 많이 이용된다.

다음은 정밀하고 재생시킬 수 있는 磨耗 data를 얻는 방법의 예이다.

- i) 銳利한 실험용 工具의 여유면을 연삭하여 0.01[in]의 磨耗 land로 한다.
- ii) bite 풀 旋盤에 고정하고 Fig. 4-18 과 같은 장치에 의하여 Fig. 4-19 와 같은 자국이 생기게 한다.
- iii) 자국의 대각선을 현미경으로 계속 측정하여 磨耗速度를 산정한다.

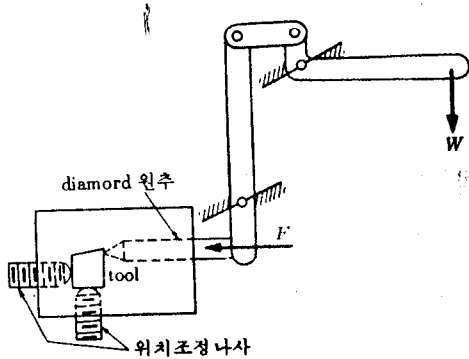


Fig. 4-18 diamond 자국법 장치

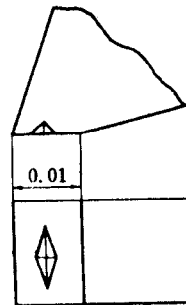


Fig. 4-19 diamond 자국의 위치

일반적으로 磨耗試驗의 결과는 標準磨耗 land의 값으로 표시되므로 자국의 읽음을 磨耗 land의 값으로 환산하는 것이 편리하다.

$ABC$  : 마모 land의 증가량

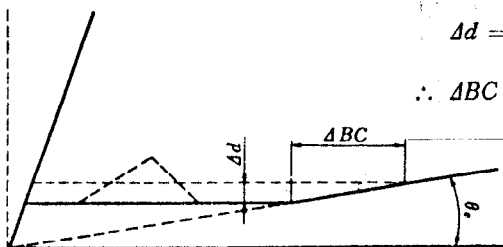
$\Delta L$  : diamond 자국의 대각선의 감소량

$\theta_c$  : 工具의 餘裕角

$\Delta d$  : diamond 자국의 깊이의 감소량

이라 하면 Fig. 4-20 에서

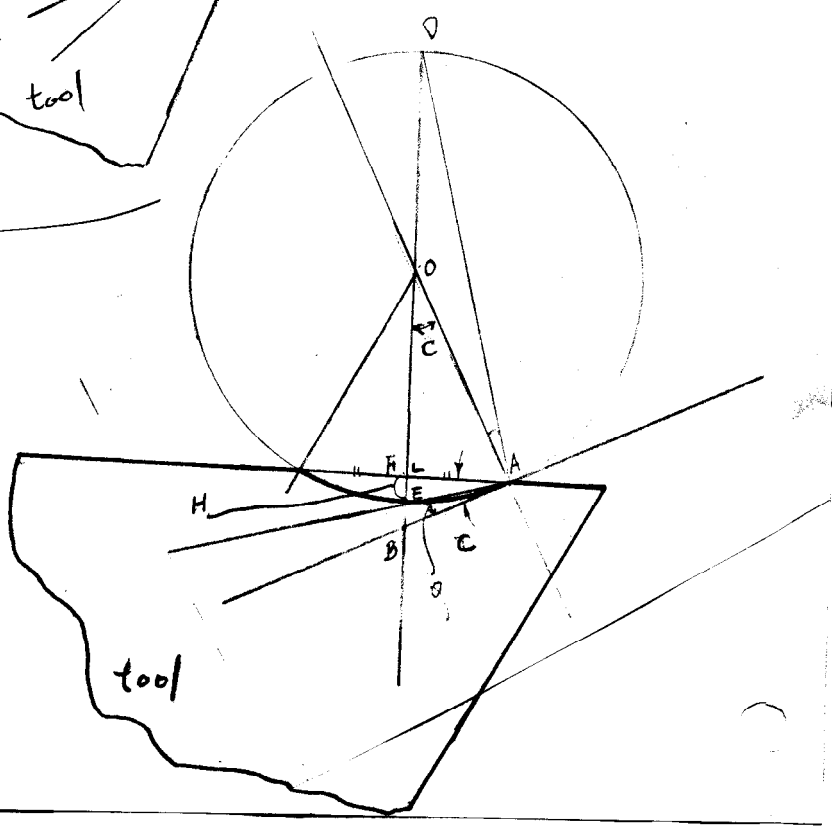
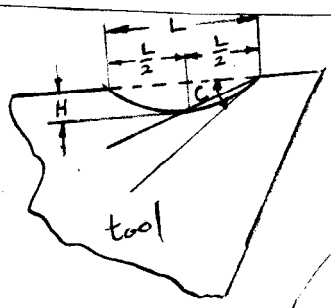
$$ABC = \Delta d \cdot \cot \theta_c$$



$$\Delta d = \frac{\Delta L}{30.53} \leftarrow (d : L = 1 : 30.53 \rightarrow \Delta d : \Delta L = 1 : 30.53)$$

$$\therefore ABC = \frac{\cot \theta_c}{30.53} \cdot \Delta L \quad (4-29)$$

Fig. 4-20 (chart 9/8)



$$\angle EAB = \varphi \text{ زاویه}$$

$$\angle EAO + \varphi = \angle EAO + \angle OAD (= \frac{C}{2})$$

$$\therefore \angle OAD = \varphi$$

$$\text{از این } C = \angle OAD + \angle ODA = 2\angle OAD$$

$$\therefore C = 2\varphi$$

$$\therefore \varphi = \frac{1}{2}C$$

$$\text{از این } \angle BAF = \angle BOA = C$$

$$\therefore \angle BAE = \angle EAF = \frac{1}{2}C$$

$$\therefore \triangle AEF \text{ قائم } \tan \frac{C}{2} = \frac{H}{\frac{L}{2}} = \frac{2H}{L} \quad (91)$$

No. 164

## P. 87 (Taylor 金屬切削理論 44)

切削加工에서 절삭속도를 선정하는 데 2가지의 기준이 있다. 하나는 最小生産價이고, 다른 하나는 最小生産時間이다. 圓筒旋削에서와 같은 일정한 절삭속도에서 最小生産價를 얻는 最適切削速度를 먼저 고려하려 한다. 이때에 작업자와 기계가  $N_b$  개 부품의 1 batch 를 생산하는 데 걸리는 시간을 다음과 같이 3가지로 생각할 수 있다.

i) 總準備時間  $N_b \cdot t_i$

다만,  $t_i$  : 준비 시간(각 部品の 工作機械에 대한 着脫시간과 工具를 처음 절삭위치에 옮기는 시간)

ii) 總加工時間  $N_b \cdot t_m$

다만,  $t_m$  : 각 部品の 加工時間

iii) 磨耗된 공구를 교체하는 데 요하는 시간  $N_i \cdot t_{ci}$

다만,  $t_{ci}$  : 공구교환시간/공구,  $N_i$  : 사용공구수

$M$  을 機械와 작업자에 대한 시간당 費用이라 하면(間接費, overheads 포함) 총 기계 및 인건비는 다음과 같다.

$$M(N_b \cdot t_i + N_b \cdot t_m + N_i \cdot t_{ci}) \quad (8-1)$$

式 (8-1)에 工具費  $N_i \cdot C_i$  를 더하여야 한다. 다만,  $C_i$  는 工具 1개의 값이다.

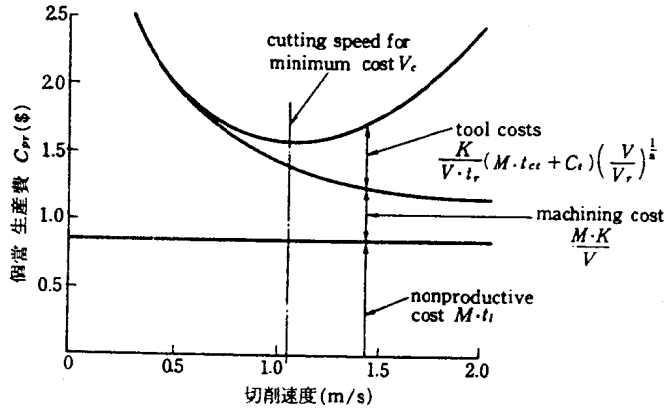
部品(component) 1개에 대한 平均生産費는 다음과 같다.

$$\begin{aligned} C_{pr} &= \frac{1}{N_b} [M(N_b \cdot t_i + N_b \cdot t_m + N_i \cdot t_{ci}) + N_i \cdot C_i] \\ &= M \cdot t_i + M \cdot t_m + M \cdot \frac{N_i}{N_b} \cdot t_{ci} + \frac{N_i}{N_b} \cdot C_i \quad (8-2) \end{aligned}$$

式 (8-2)에서 첫번째 항은 준비費(非加工費, nonproductive cost)이며, 어느 특정된 작업에서는 일정하다. 두번째 항은 加工費(machining cost)이며 feed 를 일정하게 하고 절삭속도를 증가시키면 감소시킬 수 있다. 제일 끝항은 工具費이며 절삭속도의 증가와 함께 증가한다.

1 batch 를 생산하는 데 요하는 공구수를 구하기 위해서는 절삭속도와 공구수명의 관계를 알아야 한다. Taylor 의 실험적인 절삭속도와 공구수명의 관계는 다음과 같다.

$$V \cdot t^n = V_c \cdot t_c^n = C \quad (8-3)$$



$M = \$0.002$  8/s,  $C_t = \$2.1$ ,  $t_{cl} = 240$ s,  $n = 0.25$ ,  
 $t_l = 300$ s,  $K = 192$ m,  $t_r = 60$ s, and  $V_r = 2.75$  m/s

Fig. 8-1 切削速度와 生産費

각각 그려져 있고 주어진 조건에서 最適切削速度가 어떻게 결정되는가를 알 수 있다. 式 (8-7)에 의하면 최적절삭속도는 batch size 나 준비 시간과는 무관함을 알 수 있다. 式 (8-1) 중에서 부품 1개의 平均生産時間은

$$t_{pr} = t_l + t_m + \frac{N_t}{N_b} \cdot t_{cl} \quad (8-8)$$

이다. 式 (8-8)에 式 (8-4)와 式 (8-5)를 대입하면

$$\begin{aligned} t_{pr} &= t_l + \frac{K}{V} + \frac{t_m}{t_r} \cdot \left(\frac{V}{V_r}\right)^{\frac{1}{n}} \cdot t_{cl} \\ &= t_l + \frac{K}{V} + \frac{1}{t_r} \cdot \frac{K}{V} \cdot \left(\frac{V}{V_r}\right)^{\frac{1}{n}} \cdot t_{cl} \\ &= t_l + \frac{K}{V} + \frac{K \cdot t_{cl}}{t_r \cdot V_r^{\frac{1}{n}}} \cdot V^{\frac{1-n}{n}} \end{aligned} \quad (8-9)$$

最小生産時間에 대한 절삭속도  $V_p$ 를 구하기 위하여 式 (8-9)에서  $\frac{dt_{pr}}{dV} = 0$ 으로 놓으면

$$-KV_p^{-2} + \frac{K \cdot t_{cl}}{t_r \cdot V_r^{\frac{1}{n}}} \cdot \frac{1-n}{n} \cdot V_p^{\frac{1-n}{n}-1} = 0$$

$$\therefore V_p = \left(\frac{n}{1-n} \cdot \frac{t_r}{t_{cl}}\right)^n \cdot V_r \quad (8-10)$$

式 (8-7)과 (8-10)을 볼 때 最小生産費에 대한 조건과 最小生産時間에 대한 조건이 서로 다르므로 최종절삭속도는 절충에 의하여 정하여야 하며, 이에 대한 설명은 우선 다음으로 미룬다.

### 8-3 最小生産費와 最小生産時間에 대한 工具壽命

실제의 절삭작업을 해석하는 데 있어서 최소생산비에 대한 最適工具壽命  $t_c$ 와 최소생산시간에 대한 最適工具壽命  $t_p$ 를 응용하는 것이 편리하다. 이 식들은 式 (8-7)과 (8-10)을 Taylor의 방정식 (8-3)에 대입하여 구하면

$$t_c = t_r \cdot \left(\frac{V_r}{V}\right)^{\frac{1}{n}} = t_r \left[\frac{V_r}{V_r} \left(\frac{1-n}{n} \cdot \frac{M \cdot t_{cl} + C_t}{M \cdot t_r}\right)^n\right]^{\frac{1}{n}}$$

$$\therefore t_c = \frac{1-n}{n} \cdot \left(t_{cl} + \frac{C_t}{M}\right) = \left(\frac{1}{n} - 1\right) \left(t_{cl} + \frac{C_t}{M}\right) \quad (8-11)$$

$$t_p = t_r \cdot \left(\frac{V_r}{V}\right)^{\frac{1}{n}} = t_r \cdot \left[\frac{V_r}{V_r} \cdot \left(\frac{1-n}{n} \cdot \frac{t_{cl}}{t_r}\right)^n\right]^{\frac{1}{n}}$$

$$\therefore t_p = \frac{1-n}{n} \cdot t_{cl} = \left(\frac{1}{n} - 1\right) \cdot t_{cl} \quad (8-12)$$

실제에 있어서  $(1-n)/n$ 은 工具材料에 따라 다음과 같이 정해져 있다.

H.S.S. ( $n = 0.125$ )에 대하여  $\frac{1-n}{n} = 7$

$$\therefore t_c = 7 \left(t_{cl} + \frac{C_t}{M}\right) \quad (8-13)$$

$$t_p = 7 \cdot t_{cl} \quad (8-14)$$

carbide ( $n = 0.25$ )에 대하여  $\frac{1-n}{n} = 3$

$$\therefore t_c = 3 \left(t_{cl} + \frac{C_t}{M}\right) \quad (8-15)$$

$$t_p = 3 \cdot t_{cl} \quad (8-16)$$